

DAFTAR ISI

LEMBAR PERNYATAAN	i
ABSTRAK	ii
KATA PENGANTAR.....	iv
UCAPAN TERIMAKASIH.....	v
DAFTAR ISI.....	vi
DAFTAR TABEL	viii
DAFTAR GAMBAR.....	ix
DAFTAR GRAFIK	x
DAFTAR SIMBOL	xii

BAB I PENDAHULUAN

1.1 Latar Belakang Penelitian	1
1.2 Identifikasi dan Perumusan Masalah	1
1.3 Batasan Masalah.....	2
1.4 Tujuan Penelitian	3
1.5 Metode Penulisan	3

BAB II KAJIAN PUSTAKA

2.1 Umum.....	5
2.2 Sifat dan Karakteristik Partikel Sedimen	6
2.2.1 Ukuran Butir	6
2.2.2 Bentuk Partikel.....	8
2.2.3 Berat Isi	8
2.4.2 Porositas (<i>Porosity</i>).....	9
2.2.5 Kebulatan (<i>Sphericity</i>)	10
2.2.6 Kebundaran (<i>Roundness</i>)	10
2.2.7 Sirkularitas (<i>Circularity</i>).....	11
2.2.8 Momen Inersia	11
2.3 Studi Terdahulu	12
2.3.1 Angka Reynold	12
2.3.2 Koeffisien Hambat (<i>Drag Coefficient</i>)	12
2.3.3 Gaya Hambat (<i>Drag Force</i>)	14

2.3.4	Faktor Bentuk (<i>Shape Factor</i>)	15
2.3.5	Kecepatan Endap (<i>Settling Velocity</i>)	15
2.3.6	Suhu terhadap Viskositas	17
BAB III METODE PENELITIAN		
3.1	Alat dan Bahan.....	19
3.2	Langkah Penelitian.....	21
3.3	Desain Pengujian.....	22
3.4	Metode Perhitungan	22
3.5	Alur Penelitian	24
BAB IV HASIL PENELITIAN DAN PEMBAHASAN		
4.1	Hasil Penelitian	25
4.1.1	Pengukuran Karakteristik Partikel	26
4.1.2	Uji Kecepatan Endap.....	28
4.2	Pembahasan Penelitian.....	31
4.2.1	Hubungan Kecepatan Endap Dengan Suhu	31
4.2.2	Hubungan Kecepatan Endap Dengan <i>Shape Factor</i>	34
4.2.3	<i>Drag Coefficient</i>	36
4.2.4	Angka Reynold	49
4.2.5	Perbandingan Hasil Pengujian dengan Berbagai Rumus	43
BAB V KESIMPULAN DAN SARAN		
5.1	Kesimpulan	54
5.2	Saran.....	54
DAFTAR PUSTAKA		56

LAMPIRAN

DAFTAR TABEL

Tabel

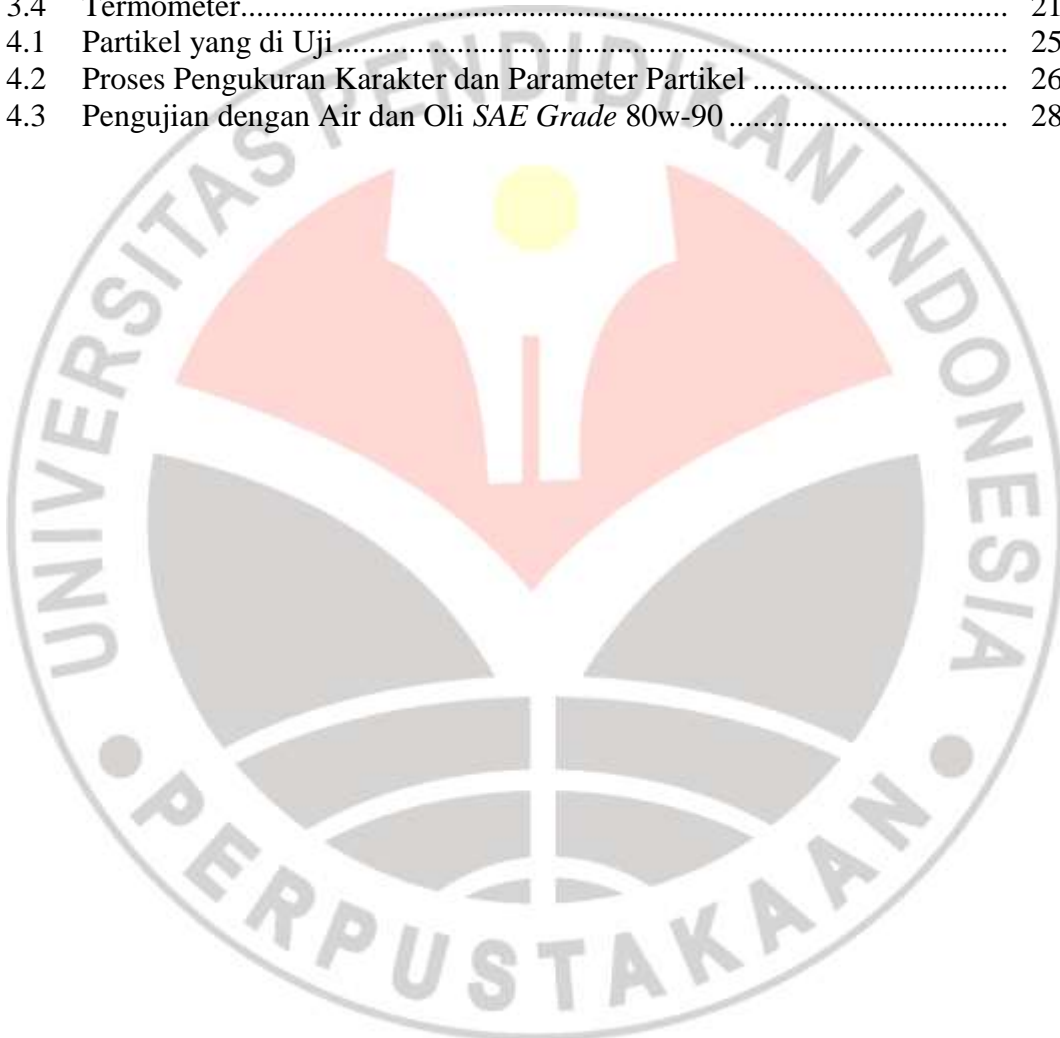
2.1	Klasifikasi Partikel Sedimen Menurut <i>American Geophysical Union</i>	7
2.2	Klasifikasi Partikel Sedimen Menurut Jansen	7
2.3	Koefisien Pada Rumus <i>Drag Coefficient</i>	13
2.4	Viskositas Air pada Berbagai Suhu	18
2.5	<i>Product Data Oli SAE Grade 80W-90</i>	18
4.1	Karakteristik Partikel.....	27
4.2	Resume Kecepatan Endap di Air	29
4.3	Resume Kecepatan Endap di Oli <i>SAE Grade 80W-90</i>	30
4.4	Berat Jenis dan Viskositas Air pada Berbagai Suhu.....	31
4.5	Berat Jenis dan Viskositas Oli <i>SAE Grade 80W-90</i> pada Berbagai Suhu.	31
4.6	<i>Product Data Oli SAE Grade 80W-90</i>	32
4.7	Hubungan <i>Shape Factor</i> dengan Kecepatan Endap	34
4.8	<i>Drag Coefficient</i>	37



DAFTAR GAMBAR

Gambar

2.1	<i>Sphericity of Particle</i>	10
3.1	Laboratorium Hidrolik.....	19
3.2	<i>Particle Drag Coefficient Apparatus</i>	20
3.3	Jangka Sorong Digital.....	20
3.4	Termometer.....	21
4.1	Partikel yang di Uji.....	25
4.2	Proses Pengukuran Karakter dan Parameter Partikel	26
4.3	Pengujian dengan Air dan Oli SAE Grade 80w-90	28



DAFTAR GRAFIK

Grafik

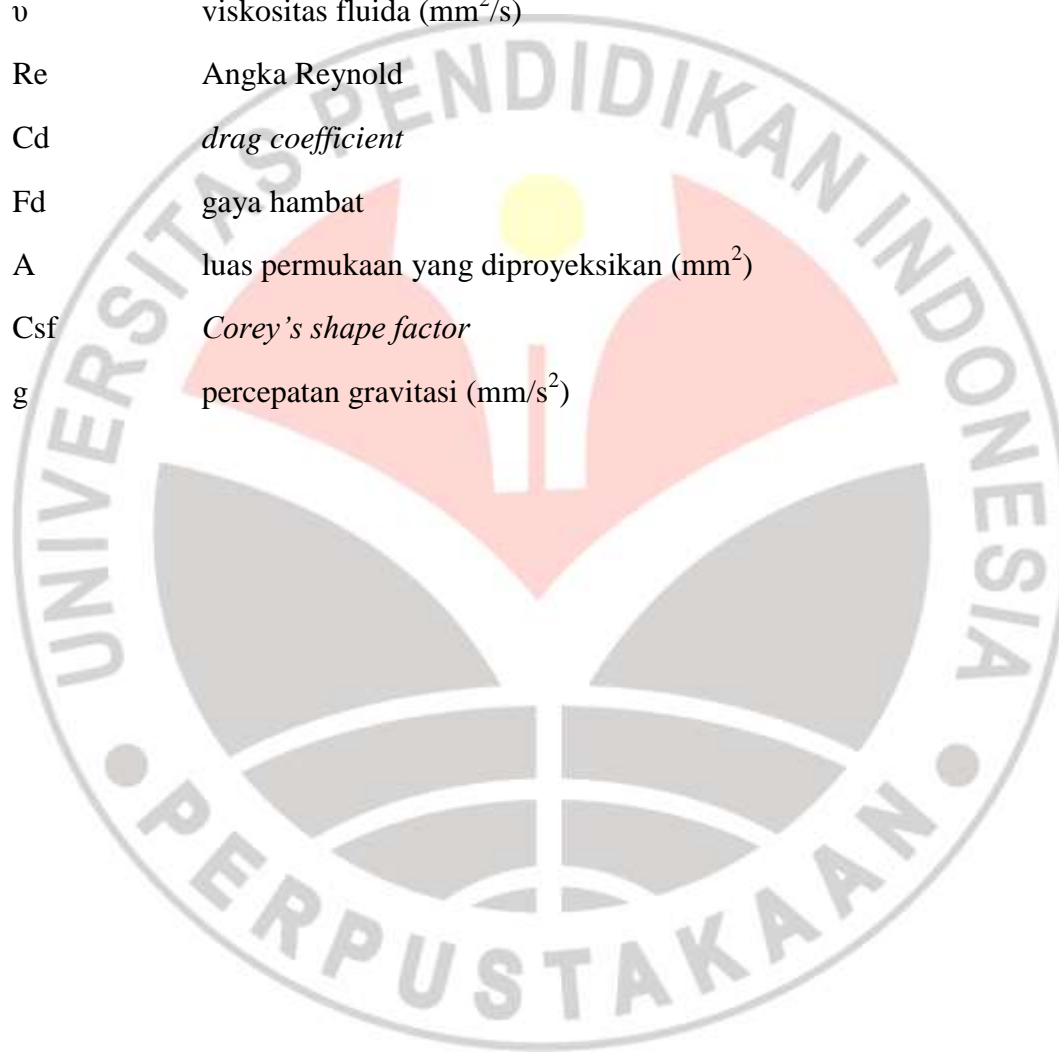
2.1	<i>Particle Drag Coefficient</i>	14
4.1	Hubungan Kecepatan Endap dengan Suhu di Air	32
4.2	Hubungan Kecepatan Endap dengan Suhu di Oli.....	33
4.3	Hubungan Csf dengan Kecepatan Endap di Air.....	35
4.4	Hubungan Csf dengan Kecepatan Endap di Oli	35
4.5	Hubungan Csf dengan Cd di Air	38
4.6	Hubungan Csf dengan Cd di Oli.....	38
4.7	Hubungan Csf dengan Re di Air (d=diameter bola).....	39
4.8	Hubungan Csf dengan Re di Air (d=diameter rata-rata)	40
4.9	Hubungan Csf dengan Re di Oli (d=diameter bola)	40
4.10	Hubungan Csf dengan Re di Oli (d=diameter rata-rata).....	41
4.11	Hubungan Cd dengan Re di Air (d=diameter bola).....	41
4.12	Hubungan Cd dengan Re di Air (d=diameter rata-rata)	42
4.13	Hubungan Cd dengan Re di Oli (d=diameter bola)	42
4.14	Hubungan Cd dengan Re di Oli (d=diameter rata-rata)	43
4.15	Perbandingan Kecepatan Endap dengan Berbagai Rumus di Air 15 ^o C (d = diameter bola)	44
4.16	Perbandingan Kecepatan Endap dengan Berbagai Rumus di Air 25 ^o C (d = diameter bola)	44
4.17	Perbandingan Kecepatan Endap dengan Berbagai Rumus di Air 35 ^o C (d = diameter bola)	45
4.18	Perbandingan Kecepatan Endap dengan Berbagai Rumus di Air 45 ^o C (d = diameter bola)	45
4.19	Perbandingan Kecepatan Endap dengan Berbagai Rumus di Air 55 ^o C (d = diameter bola)	46
4.20	Perbandingan Kecepatan Endap dengan Berbagai Rumus di Air 15 ^o C (d = diameter rata-rata)	46
4.21	Perbandingan Kecepatan Endap dengan Berbagai Rumus di Air 25 ^o C (d = diameter rata-rata)	47
4.22	Perbandingan Kecepatan Endap dengan Berbagai Rumus di Air 35 ^o C (d = diameter rata-rata)	47
4.23	Perbandingan Kecepatan Endap dengan Berbagai Rumus di Air 45 ^o C (d = diameter rata-rata)	48
4.24	Perbandingan Kecepatan Endap dengan Berbagai Rumus di Air 55 ^o C (d = diameter rata-rata)	48
4.25	Perbandingan Kecepatan Endap dengan Berbagai Rumus di Oli 26 ^o C (d = diameter bola)	49
4.26	Perbandingan Kecepatan Endap dengan Berbagai Rumus di Oli 34 ^o C (d = diameter bola)	49
4.27	Perbandingan Kecepatan Endap dengan Berbagai Rumus di Oli 44 ^o C (d = diameter bola)	50

4.28 Perbandingan Kecepatan Endap dengan Berbagai Rumus di Oli 26 ⁰ C (d = diameter rata-rata)	50
4.29 Perbandingan Kecepatan Endap dengan Berbagai Rumus di Oli 34 ⁰ C (d = diameter rata-rata)	51
4.30 Perbandingan Kecepatan Endap dengan Berbagai Rumus di Oli 44 ⁰ C (d = diameter rata-rata)	51



DAFTAR SIMBOL

Simbol	Deskripsi
γ	berat isi (kg/cm^3)
W	berat partikel (kg)
V	volume partikel (cm^3)
P'm	porositas sedimen
d_{50}	diameter median sedimen (pada uji saringan) (mm)
d	diameter sedimen
do	<i>reference size</i> (1 mm)
δ_1	tebal lapisan air (0,0004 mm)
Ψ	<i>sphericity</i>
Ψ	volume partikel (cm^3)
O_v	volume bola dengan ukuran hampir sama dengan partikel (cm^3)
Y	<i>Roundness</i>
r_c	jari-jari pembulatan sudut (mm)
r_t	radius maksimum (mm)
N_c	Jumlah sudut
z	<i>Circularity</i>
O_c	panjang keliling lingkaran yang sepadan dengan partikel (mm)
O_p	panjang keliling partikel (mm)
I	momen inersia (cm^4)
I	momen massa partikel (dyne-cm-sec ²)
ρ_f	berat jenis fluida (kg/cm^3)
ρ_p	berat jenis partikel (kg/cm^3)

- 
- a diameter maksimum partikel (cm)
 - b diameter menengah partikel (cm)
 - c diameter minimum partikel (cm)
 - ω kecepatan endap sedimen (mm/s)
 - d diameter partikel (mm)
 - ν viskositas fluida (mm^2/s)
 - Re Angka Reynold
 - Cd *drag coefficient*
 - Fd gaya hambat
 - A luas permukaan yang diproyeksikan (mm^2)
 - Csf *Corey's shape factor*
 - g percepatan gravitasi (mm/s^2)